

# Kerr Black Holes

4<sup>th</sup> Thailand School on High-Energy and  
Astro-Physics (SHEAP2022): Gravitational  
Wave

Pitayuth Wongjun

*The Institute for Fundamental Study,  
Naresuan University, Phitsanulok 65000, Thailand*

July 13, 2022

## Contents

1	Introduction	3
2	General form of the metric with stationary and axial symmetry	3
3	Newman-Janis Trick	4
4	Event horizon	9
5	Stationary limit surface	10
6	Boyer-Lindquist coordinates and Kerr solution	12
7	Kerr black holes	14

## 1 Introduction

คาบก่อนหน้านี้ เราเรียนรู้วิธีการหาผลเฉลยหลุมดำโดยใช้สมมาตรทรงกลมสถิต ซึ่งสื่อถึงหลุมดำที่อยู่นิ่ง ไม่มีการหมุน อย่างไรก็ตาม เทหวัตถุในธรรมชาติที่เราสังเกตได้นั้นมีการหมุนด้วย ดังนั้น ในคาบเรียนนี้เราจะเรียนรู้หลุมดำหมุน หรือเรียกว่า หลุมดำ Kerr ทั้งนี้ ในการหาผลเฉลยนั้น เราจะต้องใช้สมมาตรอย่างอื่นแทน กล่าวคือ ใช้สมมาตรแกน (axial symmetry) แทนสมมาตรทรงกลม และใช้เงื่อนไข stationary แทน static

## 2 General form of the metric with stationary and axial symmetry

เงื่อนไขแบบ static กับ stationary ต่างกันอย่างไร

ทั้ง static และ stationary มีเงื่อนไขร่วมกันอย่างหนึ่งคือ metric tensor ไม่ขึ้นกับเวลา  $\partial_t g_{\mu\nu} = 0$  อย่างไรก็ตาม สำหรับ static นั้น มันจะมีเงื่อนไขเพิ่มเติมขึ้นมาคือ  $g_{\mu\nu}$  ต้องไม่เปลี่ยนแปลงภายใต้การแปลง  $t \rightarrow -t$  ซึ่งนั่นจะทำให้  $g_{0i} = 0$  และนั่นหมายความว่า  $g_{0i} \neq 0$  สอดคล้องกับเงื่อนไขแบบ stationary

จากที่กล่าวไปก่อนหน้านี้ สำหรับเรขาคณิตแบบหมุนนั้น เราจำเป็นต้องใช้ สมมาตรแกน แทนสมมาตรทรงกลม โดยสมมาตรแกนนี้จะถูกมองได้ว่าเป็นสมมาตรของวัตถุภายใต้การหมุนรอบแกนหนึ่งๆ โดยหลักการแล้วเราสามารถเลือกแกนเหมาะสมๆได้ เพื่อความสะดวกในการคำนวณ ถ้าเราให้แกนหมุนนั้น เป็นแกน  $z$  เราจะได้ว่า metric tensor จะไม่ขึ้นกับ พิกัด  $\phi$  และจากเงื่อนไขเหล่านี้ จะได้ว่า metric tensor ต้องไม่เปลี่ยนแปลง

$$t \rightarrow -t \text{ and } \phi \rightarrow -\phi. \quad (1)$$

ซึ่งนั่นหมายความว่า บางคอมโพเนนท์ของ metric tensor จะเป็นศูนย์ 8nv

$$g_{01} = g_{02} = g_{31} = g_{32} = 0. \quad (2)$$

จากเงื่อนไขเหล่านี้ เราสามารถเขียน รูปแบบทั่วไปของ metric tensor ได้เป็น

$$ds^2 = g_{00}dt^2 + 2g_{03}dt d\phi + g_{33}d\phi^2 + (g_{11}(dx^1)^2 + 2g_{12}(dx^1)(dx^2) + g_{22}(dx^2)^2). \quad (3)$$

เนื่องจากพจน์สุดท้ายในวงเล็บของสมการข้างบนขึ้นกับพิกัด  $x^1$  and  $x^2$  เราสามารถเปลี่ยนพิกัดเหมาะสมๆเพื่อกับจัดคอมโพเนนท์ที่ไม่อิสระต่อกันได้ (โดยใช้เงื่อนไขที่ว่า ใน 2

มิตินั้น เราสามารถเปลี่ยนระบบพิกัดให้เป็นแบบแบนราบอย่างคอนฟอร์มอลได้) ดังนั้นโดยทั่วไปแล้ว เราจะมี 4 พังชันที่เป็นอิสระต่อกันตามนี้

$$ds^2 = -A dt^2 + B(d\phi - \omega dt)^2 + C((dx^1)^2 + (dx^2)^2). \quad (4)$$

ที่เราจัดรูปแบบของฟังก์ชันลักษณะนี้เนื่องจากความสะดวกต่อไป เช่น  $\omega$  จะสื่อถึงความเร็วเชิงมุมของการหมุน  $\omega = g_{t\phi}/g_{\phi\phi}$  เพื่อความสะดวก เราสามารถเขียนพิกัด  $x^1$  and  $x^2$  ในรูปแบบพิกัด polar-like ,  $r$  and  $\theta$  ได้ ซึ่งเมื่อเปลี่ยนแล้ว จะได้ว่า

$$ds^2 = -A dt^2 + B(d\phi - \omega dt)^2 + C dr^2 + D d\theta^2. \quad (5)$$

เขียนแยกแต่ละคอมโพเนนต์ได้เป็น

$$g_{tt} = A + B\omega^2, \quad g_{t\phi} = -B\omega, \quad g_{\phi\phi} = B, \quad g_{rr} = C, \quad g_{\theta\theta} = D. \quad (6)$$

โดยการใช้ เงื่อนไข

$$g_{\mu\rho}g^{\rho\nu} = \delta_{\mu}^{\nu}. \quad (7)$$

เราสามารถหา inverse คอมโพเนนต์ของ metric tensor ได้ กล่าวคือ

$$g^{tt} = -\frac{1}{A}, \quad g^{t\phi} = -\frac{\omega}{A}, \quad g^{\phi\phi} = \frac{B\omega^2 + A}{AB}, \quad g^{rr} = \frac{1}{C}, \quad g^{\theta\theta} = \frac{1}{D}. \quad (8)$$

โดยหลักการแล้ว เราสามารถนำ metric tensor นี้เข้าไปแทนในสมการไอน์สไตน์ แล้วทำการหาผลเฉลยได้ อย่างไรก็ตาม สมการนั้นมีความยุ่งยากมากถึงมากที่สุด (Roy Kerr ค้นพบผลเฉลยนี้ในปี 1963 ซึ่งกินเวลาราวๆ 60 ปีหลังจากการค้นพบ Schwarzschild solution) ในคาบเรียนนี้ เราจะไม่ทำการหาผลเฉลยนี้โดยตรง แต่จะแนะนำเทคนิคอย่างอื่นเพื่อทำการหาผลเฉลยแทน

### 3 Newman-Janis Trick

ใน section นี้เราจะนำเสนอวิธีการเพื่อให้ได้มาซึ่งผลเฉลยแบบหมุนสี่บเนื่องจาก ผลเฉลยแบบไม่หมุน วิธีการนี้เราไม่จำเป็นต้อง หาผลเฉลยโดยตรงจากการแก้สมการเชิงอนุพันธ์ เพียงแต่ใช้การแปลงพิกัดตามระเบียบวิธีที่จำเพาะเจาะจง โดยวิธีการนั้นเรียกว่า Newman-Janis algorithm โดยหลักๆ แล้วระเบียบวิธีนี้จะแบ่งออกเป็น 3 ขั้นตอนได้แก่

1. สร้าง metric tensor จาก null basis

2. ทำการแปลงพิกัดให้เป็นปริมาณ complex
3. แปลงพิกัดกลับมาบน basis เดิมแล้วแปลงพิกัด เป็นพิกัดที่คุ้นเคย เช่น พิกัด Boyer-Lindquist

เพื่อให้เกิดความเข้าใจมากขึ้น เราจะเริ่มจากพิจารณาขั้นตอนที่ 1. โดยพิจารณา null basis จาก Minkowski metric สำหรับ basis ปกติของ Minkowski metric นั้นเราสามารถเขียนได้เป็น

$$u_\mu = (-1, 0, 0, 0), \quad i_\mu = (0, 1, 0, 0), \quad j_\mu = (0, 0, 1, 0), \quad k_\mu = (0, 0, 0, 1). \quad (9)$$

ซึ่ง Minkowski metric ก็สามารถเขียนให้อยู่ในพจน์ของ basis ดังกล่าวได้ดังนี้

$$\eta_{\mu\nu} = -u_\mu u_\nu + i_\mu i_\nu + j_\mu j_\nu + k_\mu k_\nu. \quad (10)$$

ถัดไป เราสามารถสร้าง null basis ได้จากการเปลี่ยน 2 basis แรกได้ดังนี้

$$l_\mu = \frac{1}{\sqrt{2}}(u_\mu + i_\mu), \quad (11)$$

$$n_\mu = \frac{1}{\sqrt{2}}(u_\mu - i_\mu). \quad (12)$$

จะเห็นได้ว่า เราได้ null basis ซึ่งมีคุณสมบัติครบถ้วนแล้ว กล่าวคือ  $l_\mu l^\mu = n_\mu n^\mu = 0$  and  $l_\mu n^\mu = -1$  สำหรับ อีก 2 basis ที่เหลือ เราไม่อาจจะให้ลักษณะแบบเดิมได้โดยตรง เนื่องจากเครื่องหมายของทั้งสองนั้นเหมือนกัน เราจำเป็นต้องแปลงเป็น complex number แทน ดังนี้

$$m_\mu = \frac{1}{\sqrt{2}}(j_\mu + ik_\mu), \quad (13)$$

$$\bar{m}_\mu = \frac{1}{\sqrt{2}}(j_\mu - ik_\mu). \quad (14)$$

ซึ่งในทำนองเดียวกัน เราสามารถตรวจสอบคุณสมบัติของ null basis ได้ดังนี้  $m_\mu m^\mu = \bar{m}_\mu \bar{m}^\mu = 0$  and  $m_\mu \bar{m}^\mu = 1$ . สุดท้ายแล้ว เราสามารถเขียน Minkowski metric ในพจน์ของ null basis ได้ดังนี้

$$\eta_{\mu\nu} = -\frac{1}{2}(u_\mu + i_\mu)(u_\nu + i_\nu) + \frac{1}{2}(u_\mu - i_\mu)(u_\nu - i_\nu) \quad (15)$$

$$+ \frac{1}{2}(m_\mu + i\bar{m}_\mu)(m_\nu + i\bar{m}_\nu) + \frac{1}{2}(m_\mu - i\bar{m}_\mu)(m_\nu - i\bar{m}_\nu), \quad (16)$$

$$= -l_\mu n_\nu - l_\nu n_\mu + m_\mu \bar{m}_\nu + m_\nu \bar{m}_\mu. \quad (17)$$

เมื่อเราใช้วิธีการเขียน metric อย่างง่ายให้อยู่ในพจน์ของ null basis แล้ว ถัดไป เราจะลองใช้หลักการเดียวกันนี้กับ ผลเฉลยไม่หมุน ซึ่งสามารถเขียนได้ทั่วไปดังนี้

$$ds^2 = -f dt^2 + f^{-1} dr^2 + r^2 d\Omega^2, \quad (18)$$

โดยที่  $f = 1 - 2M/r$  สำหรับกรณีของ Sch และเพื่อความสะดวกในการหา null basis ใช้พิกัด advance Kruskal ดังนี้

$$p = dt + \tilde{r}, \quad (19)$$

$$dp = dt + \frac{1}{f(r)} dr, \quad dr = f(r) d\tilde{r} \quad (20)$$

ซึ่ง metric tensor ในพิกัดนี้สามารถเขียนได้เป็น

$$ds^2 = -f(r) dp^2 + 2 dp dr + r^2 d\Omega^2. \quad (21)$$

เราสามารถมาเขียนให้อยู่ในรูปแบบ matrix ได้ดังนี้

$$g_{\mu\nu} = \begin{pmatrix} -f & 1 & 0 & 0 \\ 1 & 0 & 0 & 0 \\ 0 & 0 & r^2 & 0 \\ 0 & 0 & 0 & r^2 \sin^2 \theta \end{pmatrix}, \quad g^{\mu\nu} = \begin{pmatrix} 0 & 1 & 0 & 0 \\ 1 & f & 0 & 0 \\ 0 & 0 & \frac{1}{r^2} & 0 \\ 0 & 0 & 0 & \frac{1}{r^2 \sin^2 \theta} \end{pmatrix}. \quad (22)$$

จากนั้น จะได้ว่า เราสามารถเลือก null basis ได้ 1 ตัวดังนี้

$$l^\mu = (0, 1, 0, 0). \quad (23)$$

โดยใช้คุณสมบัติของ null basis เอง  $n^\mu n_\mu = 0$  and  $l^\mu n_\mu = -1$  เราสามารถเขียนอีกหนึ่งตัวได้ดัง

$$n^\mu = \left(-1, -\frac{f}{2}, 0, 0\right). \quad (24)$$

สำหรับอีกสองตัวที่เหลือ เราสามารถใช้หลักการเดียวกันกับก่อนหน้านี้ได้ ซึ่งในทรวงกลมสามารถเขียนได้เป็น

$$m_\mu = \frac{1}{\sqrt{2}r} \left(0, 0, 1, \frac{i}{\sin \theta}\right), \quad (25)$$

$$\bar{m}_\mu = \frac{1}{\sqrt{2}r} \left(0, 0, 1, -\frac{i}{\sin \theta}\right). \quad (26)$$

เราสามารถตรวจสอบความถูกต้องของ null basis ดังกล่าวโดยใช้สมการ Eq. (17) ทั้งนี้ เราเสรีจากรากแรกที่ว่า เขียน metric tensor ในพจน์ของ null basis เรียบร้อยแล้ว ขั้นตอนต่อไป คือการทำให้เป็น พิกัด complex (complexification)

ขั้นตอนที่สองนี้เป็นหัวใจสำคัญอย่างหนึ่งของระเบียบวิธีนี้ก็ว่าได้ (ซึ่งจริงๆ แล้วก็ไม่รู้ว่าทำไม มันต้องเป็นแบบนี้ รู้เพียงว่า ทำแบบนี้แล้วมันใช้ได้) พิกัดบน null basis ต้องแปลงเป็นพิกัด complex ตามนี้

$$p = p' - ia \cos \theta, \quad r = r' - ia \cos \theta, \quad \theta = \theta', \quad \phi = \phi', \quad (27)$$

โดยที่ parameter  $a$  คือ parameter ที่เกี่ยวเนื่องกับ โมเมนตัมเชิงมุมของหลุมดำหมุนนั่นเอง และเพื่อที่จะให้  $f(r)$  ยังคงเป็นฟังก์ชันค่าจริง polynomial ของ  $r$  ใน function  $f(r)$  จะต้องแปลงตามนี้

$$r^p = \frac{[Re(r)]^{p+2}}{|r|^2}. \quad (28)$$

สำหรับกรณีของ Schwarzschild นั้นเราจะเขียนฟังก์ชัน  $f(r')$  ได้เป็น

$$f(r') = 1 - \frac{2Mr'}{\rho^2}, \quad (29)$$

โดยที่  $\rho^2 = r'^2 + a^2 \cos^2 \theta$  โดยสรุปแล้ว null vectors จะถูกเขียนใหม่เนื่องจาก complexification ดังนี้

$$l^{\mu'} = (0, 1, 0, 0), \quad n^{\mu'} = (-1, -\frac{1}{2}f(r'), 0, 0),$$

$$m^{\mu'} = \frac{1}{\sqrt{2}(r' - ia \cos \theta)} \left( -ia \sin \theta, -ia \sin \theta, 1, \frac{i}{\sin \theta} \right), \quad (30)$$

$$\bar{m}^{\mu'} = \frac{1}{\sqrt{2}(r' + ia \cos \theta)} \left( ia \sin \theta, ia \sin \theta, 1, \frac{-i}{\sin \theta} \right). \quad (31)$$

โดยการนำความสัมพันธ์ของ inverse metric ในสมการ (17) และใช้ null vectors ในสมการ (31) เราสามารถเขียน inverse metric ได้เป็น

$$g^{\mu\nu} = \frac{1}{\rho^2} \begin{pmatrix} a^2 \sin^2 \theta & a^2 + r^2 & 0 & -a \\ a^2 + r^2 & \Delta & 0 & -a \\ 0 & 0 & 1 & 0 \\ -a & -a & 0 & \csc^2 \theta \end{pmatrix}, \quad (32)$$

โดยที่

$$\Delta = r^2 + a^2 - 2Mr \quad (33)$$

ทั้งนี้ เราได้เปลี่ยน  $r' \rightarrow r$  เพื่อความสะดวกในการเขียนถัดๆไป

สุดท้ายแล้ว เราสามารถเขียน metric tensor ได้จาก inverse ของมัน กล่าวคือ

$$ds^2 = -\frac{\Delta - a^2 \sin^2 \theta}{\rho^2} dp^2 + 2dpdr - 2\frac{a \sin^2 \theta (a^2 + r^2 - \Delta)}{\rho^2} dpd\phi - 2a \sin^2 \theta drd\phi + \rho^2 d\theta^2 + \frac{\Sigma \sin^2 \theta}{\rho^2} d\phi^2 \quad (34)$$

โดยที่  $\Sigma = (a^2 + r^2)^2 - a^2 \Delta \sin^2 \theta$  ทั้งนี้ metric ในรูปแบบนี้คือผลเฉลยหลุมดำแบบหมุนแล้ว

Exercise1 จงแสดงว่า metric จากสมการข้างบน (หรือ ข้างล่างก็ได้) เป็นผลเฉลยของสมการไอน์สไตน์ในสุญญากาศ (ทั้งนี้ ในคาบดิว ฟิสิก ฌภัทร จะสอนให้พวกเราใช้วิธีการคำนวณจากคอมพิวเตอร์)

จากที่เกริ่นไปก่อนหน้านี้ มันจะสะดวกมากกว่าถ้าเราต้องการวิเคราะห์ผลเฉลยนี้จากพิกัดที่เหมาะสมๆ ทั้งนี้ เราสามารถใช้พิกัด Boyer-Linquist ซึ่งจะกำจัดพจน์  $drd\phi$  and  $drdp$  ออกไปได้ เพื่อที่จะให้ได้พิกัดดังกล่าว เราสามารถทำการแปลงนี้ได้

$$d\psi = d\phi + \frac{a}{\Delta} dr, \quad dp = dt + \frac{a^2 + r^2}{\Delta} dr, \quad (35)$$

หลังจากนั้น เราจะได้ผลเฉลยหลุมดำหมุน ในพิกัด Boyer-Linquist คือ

$$ds^2 = \frac{a^2 \sin^2 \theta - \Delta}{\rho^2} dt^2 - 2\frac{a \sin^2 \theta (a^2 + r^2 - \Delta)}{\rho^2} dt d\phi + \frac{\rho^2}{\Delta} dr^2 + \rho^2 d\theta^2 + \frac{\Sigma \sin^2 \theta}{\rho^2} d\phi^2, \quad (36)$$

ทั้งนี้ เราได้ตัวแปรกลับไปใหม่เพื่อความสะดวก กล่าวคือ  $\psi \rightarrow \phi$

จะเห็นได้ว่าผลเฉลยนี้มีความซับซ้อนค่อนข้างมาก ทำให้เกิดความยุ่งยากต่อการวิเคราะห์คุณลักษณะของหลุมดำ นอกจากนี้แล้วเรายังพบว่า คุณลักษณะของขอบฟ้าเหตุการณ์นั้นได้แยกตัวออกจากที่เคยพิจารณาในกรณีของ Schwarzschild เพื่อให้เข้าใจคุณลักษณะดังกล่าว เราจะพิจารณาคูณสมบัติของขอบฟ้าเหตุการณ์เพิ่มขึ้นใน section ถัดไป



## 4 Event horizon

เพื่อที่จะศึกษา เรขาคณิตกาลอวกาศแบบ Kerr เราจำเป็นต้องเรียนรู้ข้อเท็จจริงเกี่ยวกับขอบฟ้าเหตุการณ์ ก่อนหน้านั้น เรารู้ว่า ขอบฟ้าเหตุการณ์คือตำแหน่งที่ พิกัด  $t$  และ  $r$  เปลี่ยนหน้าที่กัน จากพิกัด timelike เป็น spacelike หรือเรียกได้ว่า ณ ตำแหน่งนี้ ทั้งสองกลายเป็นพิกัด ในเชิงคณิตศาสตร์แล้ว ขอบฟ้าเหตุการณ์คือ พื้นผิวที่ normal vector กลายเป็น null vector เพื่อให้เข้าใจมากขึ้น เมาลองพิจารณา พื้นผิวหนึ่งๆ ซึ่งอธิบายได้ด้วยสมการ

$$f(x^\mu) = 0. \quad (37)$$

จากนั้น เราจะได้ว่า normal vector ของพื้นผิวนี้จะเขียนได้ในรูปของ gradient ของฟังก์ชัน  $f$  นั่นเอง

$$n_\mu = \nabla_\mu f = \partial_\mu f \quad (38)$$

เงื่อนไขสำหรับการเป็น null surface คือ normal vector ต้องเป็น null vector กล่าวคือ

$$n_\mu n^\mu = g^{\mu\nu} n_\mu n_\nu = 0. \quad (39)$$

ซึ่งคุณสมบัติสำคัญอย่างหนึ่งที่ตามมาคือ เราจะเห็นได้ว่า normal vector จะกลายเป็น tangent vector ที่พื้นผิวนี้

เมื่อพิจารณา ในกรณีของ Schwarzschild ซึ่ง  $f = f(r)$  จะได้ว่า เงื่อนไขของพื้นผิว null ในสมการ (39) จะเขียนได้ดังนี้

$$g^{\mu\nu} n_\mu n_\nu = g^{\mu\nu} \partial_\mu f \partial_\nu f = g^{rr} (\partial_r f)^2 = 0. \quad (40)$$

ดังนั้น เราจะได้ว่า เงื่อนไขของการเป็น ขอบฟ้าเหตุการณ์สำหรับ Schwarzschild metric คือ

$$g^{rr} = 0 \Rightarrow 1 - \frac{2M}{r} = 0 \Rightarrow r = 2M. \quad (41)$$

จะเห็นได้ว่า รัศมีนี้คือรัศมี Schwarzschild นั่นเอง ต่อไปเราจะพิจารณา ในกรณีทั่วไปที่เกี่ยวข้องกับสมมาตรแกน กล่าวคือ  $f = f(r, \theta)$  ในกรณีนี้ เงื่อนไขดังกล่าวจะเขียนได้ดังนี้

$$g^{rr} (\partial_r f)^2 + g^{\theta\theta} (\partial_\theta f)^2 = 0. \quad (42)$$

อย่างไรก็ตาม เนื่องจากว่า พิกัด  $r$  and  $\theta$  เป็นพิกัดที่เราเลือกขึ้นมาเองได้ เราสามารถเลือกให้  $f = f(r)$  ดังนั้น เงื่อนไขการเป็นขอบฟ้าเหตุการณ์นั้นจะเป็นเงื่อนไขเดียวกันกับกรณีของ Schwarzschild กล่าวคือ

$$g^{rr}(\partial_r f)^2 = 0 \Rightarrow g^{rr} = 0 \text{ or } g_{rr} = \infty. \quad (43)$$

จะเห็นได้ว่าพื้นผิว null เป็นพื้นผิวที่เป็นทางเดินของแสง ในอีกแง่มุมหนึ่ง ถ้าแสงอยู่ในพื้นผิวนี้อาจจะอยู่ในพื้นผิวนี้อีกต่อไป นั่นคือ แสงไม่อาจจะหนีออกมาจากพื้นผิวแบบนี้ได้ ยิ่งไปกว่านั้น จะเห็นได้ว่า ในกรณีของ Schwarzschild ที่  $r < 2M$  normal vector กลายเป็น timelike vector นั้นหมายความว่า อนุภาคภายในรัศมีนี้จะต้องมี world line ในทิศที่รัศมีน้อยลงเสมอ ซึ่งตรงกับหลักการของ ขอบฟ้าเหตุการณ์ที่ว่า พิกัด  $t$  และ  $r$  จะสลับหน้าที่กัน

## 5 Stationary limit surface

โดยนิยามแล้ว พื้นผิว stationary limit คือ พื้นผิวที่ทุกอนุภาค รวมถึงแสง นั้นไม่สามารถอยู่นิ่งได้ ซึ่งจะเห็นได้ว่า ในกรณีของ Schwarzschild นั้น พื้นผิวนี้อาจจะเป็นขอบฟ้าเหตุการณ์นั่นเอง อย่างไรก็ตาม ในกรณีของหลุมดำหมุนนั้น พื้นผิวสองอย่างนี้จะแยกออกจากกัน

สำหรับกรณีของหลุมดำหมุน  $g_{t\phi} \neq 0$  มันบ่งบอกว่าต้นกำเนิดของกาลอวกาศแบบนี้กำลังหมุนอยู่ อนุภาคที่กำลังตกลงไปในกาลอวกาศแบบนี้จะโดนผลัดดันให้เคลื่อนที่ตามทิศทางการหมุนไปด้วย ในแง่ของเรขาคณิต กาลอวกาศจะถูกลากไปตามการหมุนด้วย (อนุภาคเคลื่อนที่ตามความโค้งของกาลอวกาศ) ซึ่งเราเรียกเหตุการณ์เช่นนี้ว่า "dragging of inertial frames" โดยแสดงให้เห็นตามรูป 1

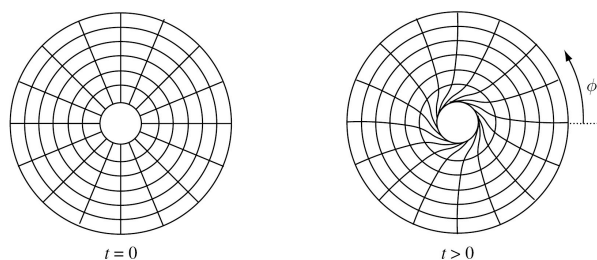


Figure 1: Dragging of inertial frames [2].

โดยทั่วไปแล้ว ผลของเหตุการณ์นี้จะมีผลน้อยมาก แปรผันกับ  $1/r^3$  และที่สำคัญ ผลของเหตุการณ์นี้ยังเป็นผลที่ใช้แยกแยะความแตกต่างระหว่าง ทฤษฎีสัมพัทธภาพทั่วไป

กับ ทฤษฎีของนิวตันด้วย (ในทฤษฎีของนิวตัน อนุภาคจะเคลื่อนที่ตามแนวรัศมี ไม่ว่าจะแหล่งกำเนิดจะหมุน หรือไม่หมุน) จากประเด็นดังกล่าวนี้ เราจะบอกได้ว่า ยิ่งอนุภาคเข้าไปใกล้แหล่งกำเนิดที่หมุนมากๆ อนุภาคก็ยิ่งจะถูกลากให้เคลื่อนที่ตามการหมุนมากขึ้นเรื่อยๆ จนถึงค่ารัศมีหนึ่งที่อนุภาครวมถึงแสงเองก็ไม่สามารถหนีผลจากการลากให้หมุนตามได้ ซึ่งรัศมีนี้คือ รัศมีของพื้นผิว stationary limit นั่นเอง เพื่อให้เข้าใจชัดเจนยิ่งขึ้น ลองพิจารณาเส้นทางเดินของแสง ที่เคลื่อนที่ตามแนว  $\phi$  อย่างเดียว จะได้ว่า

$$\begin{aligned} g_{tt} dt^2 + 2g_{t\phi} dt d\phi + g_{\phi\phi} d\phi^2 &= 0, \\ g_{tt} dt^2 + 2g_{t\phi} \frac{d\phi}{dt} + g_{\phi\phi} \left(\frac{d\phi}{dt}\right)^2 &= 0. \end{aligned} \quad (44)$$

เราสามารถหาความเร็วในการหมุนของแสงได้คือ

$$\begin{aligned} \frac{d\phi}{dt} &= -\frac{g_{t\phi}}{g_{\phi\phi}} \pm \sqrt{\left(\frac{g_{t\phi}}{g_{\phi\phi}}\right)^2 - \frac{g_{tt}}{g_{\phi\phi}}}, \\ &= \omega \pm \sqrt{\omega^2 - \frac{g_{tt}}{g_{\phi\phi}}}, \end{aligned} \quad (45)$$

โดยที่  $\omega$  คือ ฟังก์ชันที่แทนความเร็วเชิงมุมของกาลอวกาศที่ถูกลากจากการหมุน ในกรณี ที่  $g_{tt} = 0$  เราจะได้ว่า

$$\frac{d\phi}{dt} = 0, 2\omega. \quad (46)$$

จากสมการข้างบน จะเห็นได้ว่า แสงที่สังเกตจาก ผู้สังเกตที่อนันต์ที่เคลื่อนที่ ตรงข้ามทิศทางการหมุน จะมีความเร็วเท่ากับศูนย์ ณ ตำแหน่งที่  $g_{tt} = 0$  ถ้ากรณีที่  $g_{tt} > 0$  แสงที่ถูกส่งในทิศทางตรงกันข้ามกับการหมุนจะถูกลากให้หมุนไปในทิศทางเดียวกับการหมุน ในแง่หนึ่งคือ ที่  $g_{tt} = 0$  แสงเริ่มจะต้านการลากจากการหมุนไม่ได้แล้วเป็นที่มาของพื้นผิว stationary limit นั่นเอง ถ้าเราพิจารณาอนุภาคมีมวล จะได้ว่า 4-velocity ของอนุภาคนี้ที่อยู่นิ่งจะเขียนได้เป็น

$$u^\mu = (u^t, 0, 0, 0). \quad (47)$$

This 4-velocity obeys the constraint

$$u_\mu u^\mu = -1, \quad (48)$$

$$g_{tt} (u^t)^2 = -1. \quad (49)$$

จะเห็นได้ว่า ที่  $g_{tt} > 0$  เส้นไขว้ข้างบนจะไม่เป็นจริง นั่นหมายความว่า อนุภาคจะไม่สามารถอยู่นิ่งได้นั่นเอง จากที่กล่าวไปก่อนหน้านี้ เราสรุปได้ว่า เส้นไขว้ของพื้นผิว stationary limit คือ

$$g_{tt} = 0. \quad (50)$$

สำหรับ Schwarzschild metric,  $g_{tt} = 0$  จะให้  $r = 2M$  ซึ่งเป็นรัศมีของขอบฟ้าเหตุการณ์นั่นเอง สำหรับกรณีของ หลุมดำหมุนนั้น เส้นไขว้ดังกล่าวจะต่างกันเนื่องจาก  $g_{t\phi} \neq 0$  ซึ่งจะแสดงให้เห็นใน section ต่อไป

นอกจากพื้นผิว stationary limit จะสื่อถึงพื้นผิวที่ อนุภาคไม่สามารถอยู่นิ่งได้แล้ว ยังสื่อถึงว่า ความยาวคลื่นของแสงที่เดินทางจากพื้นผิวนี้ออกไปหาผู้สังเกตที่อยู่ไกลมากๆจะมีค่าเป็นอนันต์ ดังนั้น บางตำราจะเรียกพื้นผิวนี้อีกว่า พื้นผิว infinite red-shift ใน lecture note นี้จะไม่ขอกล่าวถึงในรายละเอียด แต่หลักการที่ใช้ก็เหมือนกันกับ gravitational red-shift ทั่วไป

## 6 Boyer-Lindquist coordinates and Kerr solution

ใน section นี้เราจะกลับมาสนใจที่ผลเฉลยที่เราได้มาก่อนหน้านี้ในสมการ (36) ซึ่งสามารถเขียนใหม่เพื่อความสะดวกได้เป็น

$$ds^2 = - \left( 1 - \frac{2Mr}{\rho^2} \right) dt^2 - \frac{4Mar \sin^2 \theta}{\rho^2} dt d\phi + \frac{\rho^2}{\Delta} dr^2 + \rho^2 d\theta^2 + \left( r^2 + a^2 + \frac{2Mra^2 \sin^2 \theta}{\rho^2} \right) \sin^2 \theta d\phi^2, \quad (51)$$

$$\rho^2 = r^2 + a^2 \cos^2 \theta, \quad \Delta = r^2 - 2Mr + a^2, \quad (52)$$

ถึงแม้ว่าพิกัด  $t, r, \theta, \phi$  จะดูเหมือนพิกัด Schwarzschild แต่อย่างไรก็ตาม มันไม่ใช่จริงๆ แล้วมันคือ พิกัด "Boyer-Lindquist coordinates" ตามที่ได้กล่าวไปก่อนหน้านี้ เราจะเห็นความแตกต่างนี้ได้โดยการพิจารณา  $M \rightarrow 0$  ซึ่งจะได้ว่า

$$ds^2 = -dt^2 + \frac{\rho^2}{r^2 + a^2} dr^2 + \rho^2 d\theta^2 + (r^2 + a^2) \sin^2 \theta d\phi^2. \quad (53)$$

จะเห็นได้ว่า metric ไม่ได้ลดรูปไปเป็นพิกัดที่สื่อถึงทรงกลม อย่างไรก็ตาม เราจะเห็นว่า มันสื่อถึงรูปร่างของทรงรีเมื่อพิจารณาเฉพาะส่วนของ spatial เพื่อให้เห็นชัดเจนยิ่งขึ้น

เราสามารถแปลงพิกัดไปเป็นพิกัด Cartesian ได้ดังนี้

$$\begin{aligned}x &= (r^2 + a^2)^{1/2} \sin \theta \cos \phi, \\y &= (r^2 + a^2)^{1/2} \sin \theta \sin \phi, \\z &= r \cos \theta.\end{aligned}\quad (54)$$

ความสัมพันธ์ระหว่างของพิกัดในกรณีนี้ที่  $\phi = 0$  แสดงให้เห็นในรูป 2 โดยความสัมพันธ์แบบเต็มสามารถจินตนาการได้โดยการหมุนทั้งรูปรอบแกน  $z$  axis เพื่อให้เห็นภาพถึงความเป็นทอริ เราสามารถหาความสัมพันธ์ของพิกัด  $r$  ในรูปของพิกัด  $x, y, z$  ได้ดังนี้

$$\frac{x^2 + y^2}{r^2 + a^2} + \frac{z^2}{r^2} = 1. \quad (55)$$

ซึ่งจะเห็นได้ว่ามันเป็นความสัมพันธ์ของทอริตามที่พูดถึงก่อนหน้านี้ อย่างไรก็ตาม ที่  $r = 0$  เรามีความสัมพันธ์  $x^2 + y^2 = a^2$  ซึ่งมีลักษณะเป็นวงกลมรัศมี  $a$  ซึ่งถ้า  $a = 0$  จะลดรูปเป็นทรงกลมปกติที่มีรัศมี  $r = 0$  เพื่อแสดงให้เห็นชัดเจนมากขึ้น เราสามารถหาความสัมพันธ์ที่ไม่ขึ้นกับ พิกัด  $r$  ได้ดังนี้

$$\frac{x^2 + y^2}{a^2 \sin^2 \theta} - \frac{z^2}{a^2 \cos^2 \theta} = 1. \quad (56)$$

ซึ่งจะเห็นได้ว่าสมการนี้เป็นสมการไฮเพอร์โบล่า ตามที่เห็นได้จากรูป 2 นั้นเอง

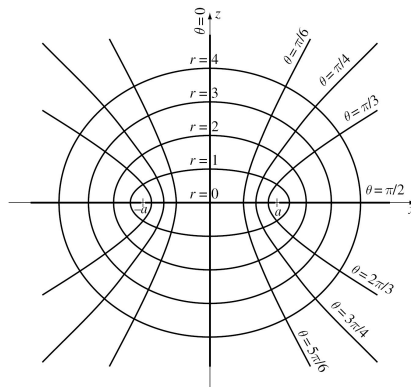


Figure 2: Structure of Boyer-Lindquist coordinates in  $\phi = 0$  plane [2].

เมื่อเราทำการลดรูปโดย  $a \rightarrow 0$  จะได้ว่า metric จะลดรูปไปเป็น

$$ds^2 = -\left(1 - \frac{2M}{r}\right) dt^2 + \left(1 - \frac{2M}{r}\right)^{-1} dr^2 + r^2(d\theta^2 + \sin^2 \theta d\phi^2), \quad (57)$$

ซึ่งเป็น Schwarzschild metric ตามที่เราคาดไว้ นั่นเอง ในมุมมองนี้ เราจะเห็นได้ว่า parameter  $a$  จะสื่อถึงการหมุนของกาลอวกาศนั่นเอง เพื่อที่จะให้เห็นภาพมากขึ้น เราสามารถจัดรูป metric ใหม่โดยให้

$$\Sigma = (r^2 + a^2)^2 - a^2 \Delta \sin^2 \theta. \quad (58)$$

ซึ่งจะได้ว่า

$$ds^2 = -\frac{\rho^2 \Delta}{\Sigma^2} dt^2 + \frac{\Sigma^2 \sin^2 \theta}{\rho^2} (d\phi + \omega dt)^2 + \frac{\rho^2}{\Delta} dr^2 + \rho^2 d\theta^2, \quad (59)$$

$$\omega = \frac{2M r a}{\Sigma^2}. \quad (60)$$

จะเห็นได้ว่า metric ในรูปแบบนี้ จะให้ความสัมพันธ์โดยตรง ระหว่าง parameter  $a$  กับ ความเร็วเชิงมุมของการหมุนของกาลอวกาศ  $\omega$  ข้อสังเกตอีกประเด็นหนึ่งคือ Kerr metric จะไม่ขึ้นกับพิกัด  $t$  and  $\phi$  ซึ่งนั่นหมายความว่า เรามีสออนปริมาณอนุรักษ์ กล่าวคือ พลังงาน และ โมเมนตัมเชิงมุม ซึ่ง parameter  $a$  ที่จะสื่อถึงโมเมนตัมเชิงมุม ถ้าเราลองพิจารณา metric นี้ใน limit ที่หมุนช้า (รายละเอียดสามารถดูได้ที่หนังสือ GR ทั่วไปหรือ [3]) เราจะได้ว่า parameter  $a$  สัมพันธ์กับโมเมนตัมเชิงมุม ดังนี้

$$a = \frac{J}{M}. \quad (61)$$

## 7 Kerr black holes

จากการบรรยายก่อนหน้านี้เกี่ยวกับหลุมดำ Schwarzschild เราจะเห็นได้ว่า สิ่งสำคัญอย่างหนึ่งในการพิจารณาคุณสมบัติของหลุมดำคือ singularity สำหรับหลุมดำ Kerr เราสนใจที่จะศึกษาที่ real singularity ขอบฟ้าเหตุการณ์ และ ผิว stationary limit โดยกรณีของ real singularity เราสามารถหาได้โดยหา Kretschmann scalar  $R_{\mu\nu\rho\sigma}R^{\mu\nu\rho\sigma}$  ในทำนองเดียวกันกับ ในกรณีของหลุมดำ Schwarzschild อย่างไรก็ตาม การคำนวณนั้นมีความซับซ้อนมาก และมันจะง่ายกว่าถ้าเราได้เรียนรู้วิธีการคำนวณจากคอมพิวเตอร์

Exercise 2 จงหา Kretschmann scalar  $R_{\mu\nu\rho\sigma}R^{\mu\nu\rho\sigma}$  สำหรับผลเฉลย Kerr (ทั้งนี้ในคาบติว ฟีนิก ฌภัทร จะสอนให้พวกเราใช้วิธีการคำนวณจากคอมพิวเตอร์)

ทั้งนี้ เราจะได้ว่า

$$R_{\mu\nu\rho\sigma}R^{\mu\nu\rho\sigma} \propto \frac{1}{\rho^6} \quad (62)$$

ดังนั้น เราจะได้ว่า real singularity ของหลุมดำ Kerr เกิดขึ้นที่

$$\rho^2 = r^2 + a^2 \sin^2 \theta = 0 \quad (63)$$

ซึ่งจะได้ว่า

$$r = 0, \quad \theta = \frac{\pi}{2}. \quad (64)$$

จากที่เราดูมาแล้วว่าในพิกัด Boyer-Lindquist นั้นในกรณีนี้คือ

$$z = 0, \quad x^2 + y^2 = a^2. \quad (65)$$

ดังนั้น เราจะเห็นได้ว่า real singularity นั้นจะมีลักษณะเป็นวงแหวนทรงกลมรัศมี  $a$  ซึ่งนี้เป็นข้อแตกต่างอย่างมีนัยเมื่อเทียบกับหลุมดำไม่หมุนอย่าง หลุมดำ Schwarzschild สำหรับขอบฟ้าเหตุการณ์นั้น เราสามารถหาได้โดยใช้เงื่อนไขที่กล่าวไปแล้วก่อนหน้านี้คือ

$$g_{rr} = \frac{\rho^2}{\Delta} = \infty, \Rightarrow \Delta = r^2 - 2Mr + a^2 = 0, \Rightarrow r = r_{\pm} = M \pm \sqrt{M^2 - a^2}. \quad (66)$$

จากสมการข้างบน เราจะเห็นได้ว่า โครงสร้างของขอบฟ้าเหตุการณ์สามารถแบ่งแยกได้ 3 กรณี คือ  $a^2 > M^2$ ,  $a^2 < M^2$  และ  $a^2 = M^2$

สำหรับกรณีที่  $a^2 > M^2$  จะเห็นได้ว่าหลุมดำจะไม่มี ขอบฟ้าเหตุการณ์มาปกคลุม real singularity เหตุการณ์เช่นนี้เราจะเรียกว่า naked singularity ซึ่งถ้าเกิดเหตุการณ์เช่นนี้ขึ้นมาจริงในธรรมชาติ เราจะพบว่า ธรรมชาติจะมีความแปลกประหลาดมาก กล่าวคือ เราสามารถ เดินไปหา singularity แล้วกลับออกมาสู่สถานการณปกติได้ ซึ่งนี่จะค่อนข้างขัดแย้งในเชิงฟิสิกส์เพราะ เราสามารถใส่เงื่อนไขเริ่มต้นที่ตำแหน่งที่ฟิสิกส์ไม่สามารถนิยามได้ แล้วสามารถหาผลเฉลยที่เกี่ยวข้องกับเงื่อนไขเริ่มต้นนั้นได้ อย่างไรก็ตาม ในปี 1969 Roger Penrose ได้เสนอสมมุติฐานที่ว่า หลุมดำที่เป็น naked singularity นี้ไม่สามารถเกิดขึ้นเองได้ตามธรรมชาติ ทั้งนี้ โดยฟิสิกส์แล้ว พจน์ที่เกี่ยวข้องกับ parameter  $a$  นี้จะสื่อถึงมวลที่ให้แรงผลัก ซึ่งโดยทั่วไปแล้วจะไม่สามารถสร้างโครงสร้างได้

สำหรับ กรณีที่  $a^2 < M^2$  นั้น เราจะเห็นได้ว่า มี 2 ขอบฟ้าเหตุการณ์ ขอบนอก และขอบใน โดยที่เราจะเห็นเพียง ขอบฟ้าเหตุการณ์นอกเท่านั้น เนื่องจากถ้าเราผ่านเข้าไปข้างในของขอบนอกแล้วเราจะต้องเปลี่ยนตำแหน่งในกาลอวกาศ โดยที่ รัศมีน้อยลงเสมอ ในทำนองเดียวกันกับ หลุมดำ Schwarzschild อย่างไรก็ตาม เมื่อเราผ่านขอบในเข้าไปแล้ว พิกัด  $t$  และ  $r$  จะเปลี่ยนหน้าที่กันอีกรอบ ทำให้เราต้องเคลื่อนที่ไปโดยที่เวลา

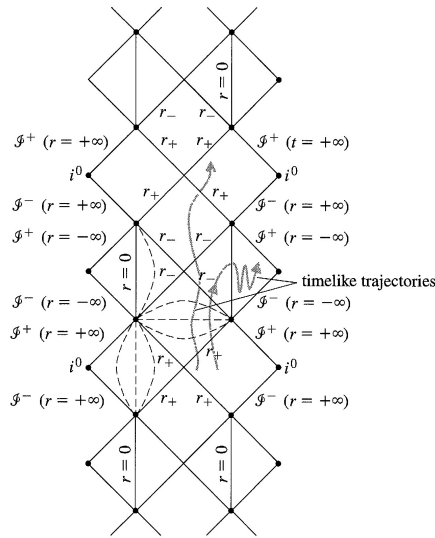


Figure 3: Conformal diagram for Kerr geometry in the case  $a^2 < M^2$  [1].

เพิ่มขึ้นเสมออีกรอบ เราสามารถเลือกได้ว่า จะเข้าไป singularity หรือจะกลับออกมา ในกรณีที่เรากลับออกมา เราจะผ่านขอบในออกมา แล้วเราจำเป็นที่จะต้อง เปลี่ยนตำแหน่ง ในกาลอวกาศ โดยที่  $r$  เพิ่มขึ้นเสมอ จนไปชนกลับ ขอบนอก แล้วหลุดออกมายัง พื้นที่แบนราบอีกรอบ อย่างไรก็ตาม พื้นที่นี้จะเปรียบเสมือนเป็นอีกโลกหนึ่งที่ไม่เกี่ยวข้องกับโลกเดิมของเรา (โลกคู่ขนานหรือป่าว?) แล้วถ้าเราเดินทางไปกลับเข้าไปแล้วออกมาอีกรอบก็จะเจอโลกใหม่อีกรอบเรื่อยๆ ทั้งนี้ เหตุการณ์ทั้งหมดนี้สามารถอธิบายได้จาก conformal diagram ในรูป 3 โดย conformal diagram คือ spacetime diagram แบบหนึ่งที่ กรวยแสงโดนตรึงไว้ที่มุมเดิมตลอด และโครงสร้างของกาลอวกาศทั้งหมดจะถูกระบุไว้ภายใน diagram ที่พื้นที่จำกัด

คำถามสำคัญอย่างหนึ่งสำหรับกรณีนี้คือ เราสามารถเดินทางทะลุผ่าน วงแหวน singularity ไปบริเวณที่  $r < 0$  ได้หรือไม่ โดยทางคณิตศาสตร์แล้ว แล้วสามารถ analytic continuation ในการวิเคราะห์แล้วเราจะพบว่า อนุภาคสามารถเดินทางทะลุผ่านได้จริง และยิ่งไปกว่านั้น เราจะเจอกาลอวกาศแบบราบในบริเวณนั้นด้วย ซึ่งหมายความว่า เราจะมีโลกใหม่ข้างในวงแหวน singularity นั้นเอง ทั้งนี้ พื้นที่ส่วนนี้ก็บรรจุอยู่ใน conformal diagram ตามที่เห็นในรูป 3 สิ่งสำคัญอย่างหนึ่ง ที่เกิดขึ้นในวงแหวนนี้คือ การมีตัวตนอยู่ของ "closed timelike curve" โดยที่ closed timelike curve นี้เป็นเส้นทางเดินเปิดของอนุภาคที่เป็นแบบ timelike  $ds^2 < 0$  เพื่อให้เห็นชัดเจนขึ้น พิจารณา  $ds^2 < 0$  โดยที่  $r$



และ  $t$  เป็นค่าคงที่  $\theta = \pi/2$  จะได้ว่า

$$ds^2 = \left( r^2 + a^2 + \frac{2\mu a^2}{r} \right) d\phi^2. \quad (67)$$

จะเห็นได้ว่า ในกรณีที่  $r$  มีค่าติดลบน้อยๆ  $ds^2$  จะมีค่าติดลบ ดังนั้นมันจึงเป็นเส้นทางแบบ timelike ได้ ในอีกแง่มุมหนึ่ง เราสามารถเดินทางโดยเปลี่ยนตำแหน่งแค่พิกัด  $\phi$  รอบๆ แกน  $z$  โดยที่  $t$  คงที่ ซึ่งนั่นหมายความว่า เราจะสามารถกลับมาเจอตัวเราเองอีกรอบที่เวลาเดิม (เรามีเราสองคน) ซึ่งถ้าเราตัดสินใจฆ่าตัวเราเอง มันก็จะเกิดปัญหาที่ว่า จะมีเราที่ฆ่าตัวเราเองได้อย่างไร โดยสรุป การมีอยู่ของ closed timelike curve จะทำให้เกิดการละเมิดความเป็นเหตุเป็นผล (causality) อย่างไรก็ตาม วิธีการ analytic continuation อาจจะเป็นวิธีการทางคณิตศาสตร์ที่ไม่ให้ความหมายเชิงฟิสิกส์ก็เป็นได้ ทั้งนี้ การยุบตัวจริงๆ เนื่องจากความโน้มถ่วงก็ไม่แน่ว่าจะให้ผลที่ละเมิดหลักเหตุและผลได้

สำหรับในกรณีหลุมดำ extremal Kerr ( $a^2 = M^2$ ) ทั้งสองขอบจะรวบตัวกันเป็นขอบเดียวที่  $r = M$  ในกรณีนี้จะค่อนข้างพบทั่วไปในธรรมชาติ กล่าวคือ มวลที่ตกลงไปในหลุมดำหมุนนั้นจะหมุนรอบๆ หลุมดำก่อนจะตกลงไปและรวมกันเป็นจานพอก ลักษณะเช่นนี้ จะเสริมทำให้หลุมดำมี โมเมนตัมเชิงมุมเพิ่มขึ้น และค่อยๆ เท่ากันกับค่าวิกฤต ซึ่งเมื่อคำนวณโดยละเอียดแล้วจะพบว่าค่าจะไปจบที่ประมาณ  $a \sim 0.998M$  [2]

เพื่อให้เห็นรูปร่างหน้าตาของขอบฟ้าเหตุการณ์เราจะให้  $t = \text{constant}$  and  $r = r_{\pm}$ , และนั่นจะทำให้ได้  $ds^2$  ดังนี้

$$d\sigma^2 = \rho_{\pm}^2 d\theta^2 + \left( \frac{2\mu r_{\pm}}{\rho_{\pm}} \right)^2 \sin^2 \theta d\phi^2. \quad (68)$$

โดยการยัดพื้นผิว 2 มิติเข้าไปใน 3 มิติ Euclidean space จะได้ว่ารูปร่างหน้าตาจะเป็นทรงรีที่แกน  $z$  จะถูกทำให้แบนมากกว่า (ลูกบอลโดนกดในแนวตั้ง)

ถัดจากนี้ เราจะมาพิจารณาพื้นผิว stationary limit โดยเงื่อนไขสำหรับพื้นผิวนี้นี้คือ  $g_{tt} = 0$  ซึ่งจะเงื่อนไขอย่างชัดแจ้งดังนี้

$$1 - \frac{2Mr}{\rho^2} = \frac{r^2 + a^2 \cos^2 \theta - 2Mr}{\rho^2} = 0, \Rightarrow r = r_{s\pm} = M \pm \sqrt{M^2 - a^2 \cos^2 \theta} \quad (69)$$

จะเห็นได้ว่า ลักษณะของพื้นผิวจะคล้ายกันกับขอบฟ้าเหตุการณ์โดยจะมีฟังก์ชัน  $\cos^2 \theta$  คูณอยู่ที่พจน์  $a^2$  เพิ่มเข้ามา ดังนั้น ที่  $\theta = 0, \pi$  รัศมีของทั้งสองพื้นผิวจะรวมตัวกัน และแยกกันที่ ค่าอื่นๆ ของมุม  $\theta$  ตามที่เห็นในรูป 4 นอกจากนั้นแล้วเรายังพบว่า ผิวนอกของ

พื้นผิว stationary limit จะใหญ่กว่า ฝวนอกของขอบฟ้าเหตุการณ์ และ ฝวนอกของพื้นผิว stationary limit จะเล็กกว่า ฝวในของขอบฟ้าเหตุการณ์ ที่  $\theta = \pi/2$  ฝวในจะมีตำแหน่งเดียวกันกับวงแหวน real singularity ตามที่เห็นได้จากรูป 4.

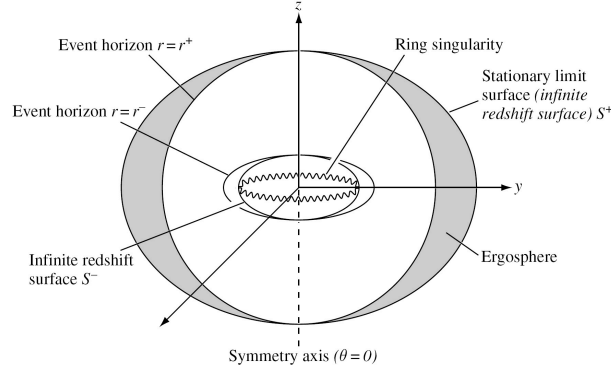


Figure 4: The structure of all event horizons and stationary limit surfaces including the singularity ring [2].

จากรูปนี้ เราจะเห็นได้ว่า มันมีพื้นที่ระหว่าง ฝวนอกของทั้งสองพื้นผิว (พื้นที่ที่เรากล่าวว่า "ergoregion" สำหรับหลุมดำ Schwarzschild นั้นจะไม่มีพื้นที่ส่วนนี้เพราะทั้งสองพื้นผิวจะทับกัน สิ่งสำคัญอย่างหนึ่งสำหรับพื้นที่บริเวณนี้คือ อนุภาคยังสามารถเคลื่อนที่หนีออกมาจากแรงโน้มถ่วงของหลุมดำได้ เพียงแต่จะต้องหมุนออกมาเท่านั้น เมื่อพิจารณา four-velocity ของอนุภาคโดยที่ให้  $r$  และ  $\theta$  เป็นค่าคงที่ ในบริเวณ ergoregion เราจะได้ว่า

$$u^\mu = \frac{dx^\mu}{d\tau} = \left( \frac{dt}{d\tau}, 0, 0, \frac{d\phi}{d\tau} \right) = u^t \left( 1, 0, 0, \frac{d\phi}{dt} \right) = u^t (1, 0, 0, \Omega) \quad (70)$$

ซึ่ง four-velocity จะเป็นไปตามเงื่อนไข

$$u_\mu u^\mu = g_{\mu\nu} u^\mu u^\nu = (u^t)^2 (g_{tt} + 2g_{t\phi}\Omega + g_{\phi\phi}\Omega^2) = -1 \quad (71)$$

เมื่อ  $u^t$  เป็นปริมาณทางฟิสิกส์ จะได้ว่า

$$g_{tt} + 2g_{t\phi}\Omega + g_{\phi\phi}\Omega^2 < 0. \quad (72)$$

เมื่อหาผลเฉลยสำหรับ  $\Omega$  ของสมการนี้ เราจะได้ว่า

$$\Omega_- < \Omega < \Omega_+, \quad (73)$$

โดยที่

$$\Omega_{\pm} = -\frac{g_{t\phi}}{g_{\phi\phi}} \pm \sqrt{\left(\frac{g_{t\phi}}{g_{\phi\phi}}\right)^2 - \frac{g_{tt}}{g_{\phi\phi}}} = \omega \pm \sqrt{\omega^2 - \frac{g_{tt}}{g_{\phi\phi}}}. \quad (74)$$

เมื่อเราปล่อยให้อนุภาคตกลงไปในแนวรัศมีที่ตำแหน่ง  $r = r_{s+}$  ซึ่ง  $g_{tt} = 0$  จะได้ว่า  $\Omega = 0$  และเมื่ออนุภาคตกลงไปในบริเวณ ergoregion ซึ่ง  $g_{tt} > 0$  ความเร็วเชิงมุมของอนุภาคจะเพิ่มขึ้นเรื่อยๆ ในขณะที่ตกลงไป  $r$  และยิ่งไปกว่านั้น เราจะพบว่า อนุภาคจะมีความเร็วเชิงมุมมากที่สุดเมื่อ

$$\left(\frac{g_{t\phi}}{g_{\phi\phi}}\right)^2 - \frac{g_{tt}}{g_{\phi\phi}} = 0 \Rightarrow g_{t\phi}^2 - g_{tt}g_{\phi\phi} = 0. \quad (75)$$

โดยการหาผลเฉลยของสมการนี้ เราจะพบว่า  $r = r_+$  นั่นคือ อนุภาคจะมีความเร็วเชิงมุมสูงสุดที่ขอบฟ้าเหตุการณ์พอดิ และเมื่อแทนค่าลงไปนสมการ (74) เราจะได้ว่าความเร็วสูงสุดของอนุภาคคือ

$$\Omega_H \equiv \omega(r_+) = \frac{a}{r_+^2 + a^2} = \frac{a}{2Mr_+}. \quad (76)$$

จะเห็นได้ว่า ความเร็วค่านี้นี้จะไม่ขึ้นอยู่กับคุณสมบัติของอนุภาคเลย แต่จะขึ้นอยู่กับ มวล และ โมเมนตัมเชิงมุมของหลุมดำเท่านั้น โดยทั่วไปแล้ว เราสามารถมองว่า ความเร็วเชิงมุมค่านี้นี้เป็นคุณสมบัติของหลุมดำ และบางที่จะเรียกว่า ความเร็วเชิงมุมของหลุมดำ (แต่จริงๆ แล้วเป็นความเร็วเชิงมุมของอนุภาค)

## References

- [1] Sean M. Carroll, "An Introduction to General Relativity: Spacetime and Geometry," Addison Wesley Press, (2004).
- [2] M. P. Hobson, G. P. Efatathiou and A. N. Lasenby, "General Relativity: Introduction for Physicists," Cambridge University Press, (2006).
- [3] Lewis. Ryder, "Introduction to General Relativity," Cambridge University Press, (2009).